

PAPER DETAILS

TITLE: Hsa (Hücresel Sinir Ağları)-Tabanlı Otonom Olmayan Mıknatısal Devresinin Donanımsal Gerçekleştirimleri / Hardware Implementations for CNN (Cellular Neural Network)- Implementations for CNN (Cellular Neural Network)

AUTHORS: Enis GÜNEY, Fatma YILDIRIM DALKIRAN, Recai KILIÇ

PAGES: 27-30

ORIGINAL PDF URL: <https://dergipark.org.tr/tr/download/article-file/63808>

HSA (Hücresel Sinir Ağ)-Tabanlı Otonom Olmayan MLC Devresinin Donanımsal Gerçekleştirimleri

Hardware Implementations for CNN (Cellular Neural Network)-Based Nonautonomous MLC Circuit

Fatma Yıldırım Dalkiran¹, Enis Günay², Recai Kılıç²

¹Sivil Havacılık Yüksekokulu
Erciyes Üniversitesi
fatmay@erciyes.edu.tr

²Mühendislik Fakültesi, Elektrik-Elektronik Mühendisliği Bölümü
Erciyes Üniversitesi
egunay@erciyes.edu.tr, kilic@erciyes.edu.tr

Özet

Hücresel Sinir Ağ (HSA)-tabanlı kaos üreteçleri, büyük bir ilgi uyandırmış ve bu üreteçlerle ilgili çok sayıda teorik ve deneysel çalışma literatüre sunulmuştur. Alternatif donanım çözümleri, HSA-tabanlı kaos üreteçlerinin tasarımını ve gerçekleştirmesini için önemlidir. Bu çalışmada, HSA-tabanlı otonom olmayan MLC sistemi tanıtılmış ve bu sistem için iki farklı donanımsal gerçekleştirmesi sunulmuştur. Birinci donanım çözümü, klasik analog devre tasarımını şeklinde iken ikinci programlanabilir ve yeniden yapılandırılabilir tümdevre teknigi kullanılarak gerçekleştirılmıştır. DeneySEL sonuçlar, yapılan tasarımını ve gerçekleştirmesini doğrulamaktadır.

Abstract

Cellular Neural Network (CNN)-based chaos generators have attracted considerable interest, and many theoretical and experimental studies related to these generators have been presented in the literature. Alternative hardware solutions are important for design and implementation of CNN-based chaos generators. In this paper, CNN-based nonautonomous MLC system, is introduced and two different hardware implementations are proposed for this system. While the first hardware solution use the classical analog circuitry design, the other one consists of programmable and reconfigurable IC technique. Experimental results verify the design and implementation issues.

1. Giriş

Doğrusal olmayan osilatörler arasında otonom kaotik osilatörler, minimum üç adet doğrusal olmayan diferansiyel denklemden oluşan bir sisteme gereksinim duyarken otonom olmayan kaotik osilatörlerdeki kaotik değişimler, uyarım olarak bilinen ve zamana bağlı periyodik işaretlerle sürülen ikinci dereceden doğrusal olmayan diferansiyel denklemlerden gözlemlenebilir. Sinüzoidal uyarım tabanlı otonom olmayan kaotik devrelerde sinüs işaretinin hem genliği hem de frekansı, kaotik dinamiklerin karakteristiklerinde rol oynamaktadır. Otonom olmayan kaotik

devreler üzerine yapılan çalışmalar arasında Murali-Lakshmanan-Chua devresi (MLC), büyük ilgi görmüştür [1].

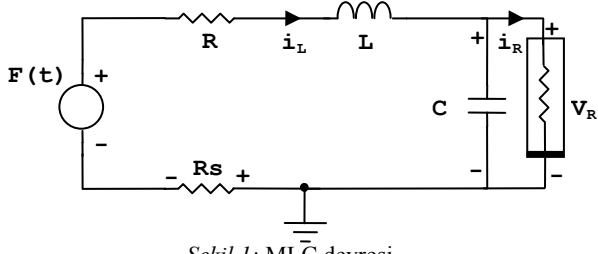
Diğer taraftan Hücresel Sinir Ağ (HSA), doğrusal olmayan sistemlerin uygulama alanlarından birisidir [2] ve HSA'lar ile ilgili literatürde birçok teorik ve deneysel çalışma bulunmaktadır [3]. Bu çalışmaların birinde Arena ve arkadaşları, üç adet genelleştirilmiş HSA hücresinin uygun bir bağlantı ile Chua devresinin dinamiklerini üretebileceğini rapor etmişlerdir [4]. Daha sonraları bu HSA-tabanlı devre, HSA-tabanlı güvenilir haberleşme uygulamalarında kaos üreteci olarak kullanılmıştır [5-7].

Bu çalışmada HSA-tabanlı otonom olmayan MLC sistemi tanıtılmış ve bu sistem için iki farklı donanım gerçekleştirmesi sunulmuştur. Hazırlanan bu çalışma aşağıdaki bölümlerden oluşmaktadır: 2. bölümde HSA-tabanlı MLC devre modeli tanıtılmaktadır. Sunulan devrenin klasik analog devre tasarımını ve programlanabilir donanım gerçekleştirmesini, deneySEL sonuçlar ile beraber Bölüm 3' de verilmektedir. Son olarak Bölüm 4' de elde edilen sonuçlar tartışılmıştır.

2. HSA-Tabanlı Otonom Olmayan MLC Devresi

MLC devresinin devre şeması, Şekil 1'de verilmiştir. Şekil 1'den görüldüğü gibi MLC devresi, bir adet doğrusal dirençten, 1 adet doğrusal indüktörden, 1 adet doğrusal kapasitörden, bir adet sinüzoidal voltaj kaynağından ve bir adet doğrusal olmayan dirençten oluşmaktadır. Bu doğrusal olmayan direnç, Chua devresindeki doğrusal olmayan direncin üç bölgeli parçalı doğrusal karakteristiğine sahiptir. MLC devresinin iki adet birinci dereceden otonom olmayan diferansiyel denklemleri ise Denklem 1'de verilmektedir. [8].

$$\begin{aligned} C \frac{dv_R}{dt} &= i_L - f(v_R) \\ L \frac{di_L}{dt} &= -R_i_L - R_s i_L - v_R + FSin(\Omega t) \\ f(v_R) &= G_b v_R + 0.5(G_a - G_b)x(|v_R + B_p| - |v_R - B_p|) \end{aligned} \quad (1)$$



Şekil 1: MLC devresi.

Burada G_a ve G_b , sırasıyla iç ve dış bölgelerdeki eğimlerdir ve $\pm B_p$ ise, kırılma noktalarını sembolize etmektedir. $F \sin(\Omega t)$ 'de, Ω , açısal frekansı ve F , harici periyodik işaretin genliğini göstermektedir. $v_R = xB_p$, $i_L = GyB_p$, $G = 1/R$, $w = \Omega C/G$ ve $t = \tau C/G$ eşitlikleri kullanıldığında ve τt olarak yeniden tanımlandığında MLC devresinin boyutsuz formu aşağıdaki gibi elde edilebilir:

$$\dot{x} = y - h(x)$$

$$\dot{y} = -\beta y - \beta vy - \beta x + f \sin(wt) \quad (2)$$

$$h(x) = bx + 0.5(a - b)[|x + 1| - |x - 1|]$$

burada ($=d/d\tau$), $\beta = C/LG^2$, $v = GR_s$, $f = F\beta/B_p$, $a = G_a/G$, $b = G_b/G$ ' dir.

Diğer taraftan DK-HSA (Durum Kontrollü Hücresel Sinir Ağlı), aşağıdaki boyutsuz doğrusal olmayan durum denklemleri ile genelleştirilebilir [4]:

$$\dot{x}_j = -x_j + a_j y_j + G_0 + G_s + i_j$$

$$y_j = 0.5 \times (|x_j + 1| - |x_j - 1|) \quad (3)$$

Denklem 3' deki j , hücre indeksi, x_j ve y_j , sırasıyla durum değişkeni ve hücre çıkışıdır. a_j , Denklem 3' deki sabit bir parametreyi gösterirken i_j , eşik değerdir. Denklem 3' deki G_0 , çıkışlar olup G_s , birbirine bağlanan hücrelerin durum değişkenleridir. Denklem 3' e göre iki adet genelleştirilmiş HSA hücresinin dinamik modeli aşağıdaki gibi ifade edilebilir:

$$\begin{aligned} \dot{x}_1 &= -x_1 + a_1 y_1 + a_{12} y_2 + \sum_{k=1}^2 s_{1k} x_k + i_1 \\ \dot{x}_2 &= -x_2 + a_{21} y_1 + a_2 y_2 + \sum_{k=1}^2 s_{2k} x_k + i_2 \end{aligned} \quad (4)$$

Denklem 2 ile tanımlanan MLC devresi, aşağıdaki varsayımlar yapılarak Denklem 4' ten türetilabilir:

$$x = x_1; y = x_2; a_1 = b - a; a_{12} = a_{21} = a_2 = 0; s_{11} = 1 - b; s_{12} = 1; s_{21} = -\beta; s_{22} = 1 - \beta(1 + v); f \sin(\omega t) = f \sin(\omega t)$$

Yukarıdaki varsayımlarla birlikte Denklem 4 kullanılarak DK-HSA tabanlı MLC modeli aşağıdaki gibi düzenlenebilir:

$$\dot{x}_1 = -x_1 + a_1 y_1 + s_{11} x_1 + s_{12} x_2$$

$$\dot{x}_2 = -x_2 + s_{21} x_1 + s_{22} x_2 + f \sin(\omega t) \quad (5)$$

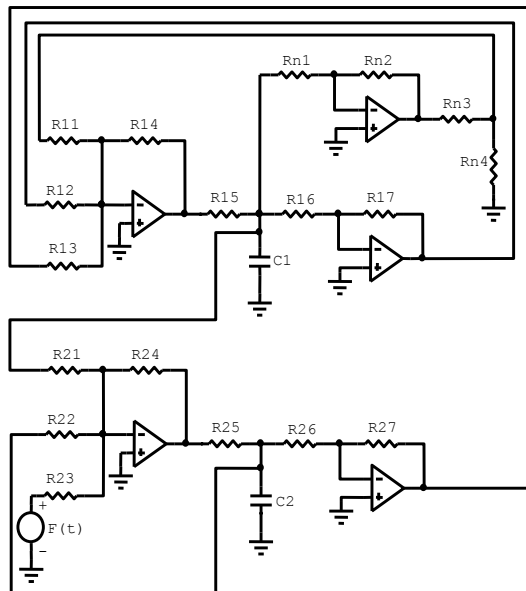
$$y_1 = 0.5 \times (|x_1 + 1| - |x_1 - 1|)$$

MLC modelin deneysel devre parametreleri, $\beta = 1$, $v = 0.015$, $a = -1.02$, $b = -0.55$ ve $w = 0.75$ olarak seçilmiştir [1]. Bu parametre değerleri için DK-HSA parametreleri, $a_1 = 0.47$, $s_{11} = 1.55$, $s_{12} = 1$, $s_{21} = -1$, $s_{22} = -0.015$ seçilmiştir.

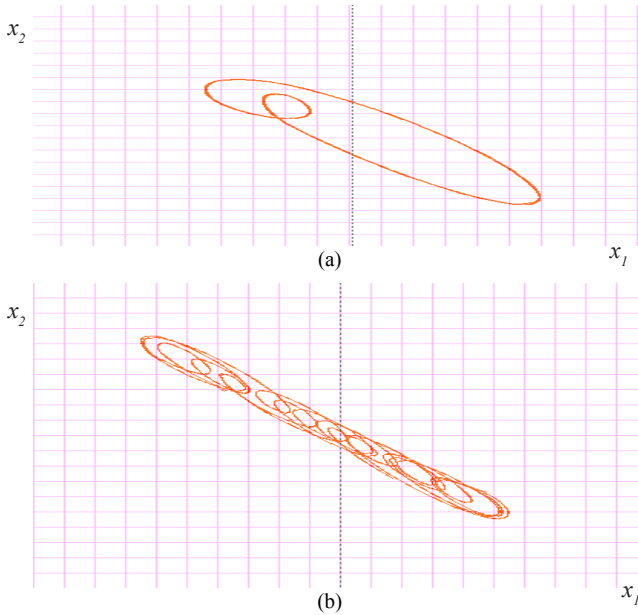
3. HSA-Tabanlı MLC Devresinin Donanım Gerçekleştirmeleri

Bu bölümde önceki bölümde tanımlanan HSA-tabanlı MLC devre modelinin iki farklı donanım gerçekleştirmesini incelenmiştir. Birinci gerçekleştirm, klasik analog devre tasarımdan oluşmaktadır. Bu tasarımın devre gerçekleştirmesi Şekil 2'de gösterilmiştir olup hücre elemanlarının değerleri: $R_{11}=20K\Omega$; $R_{12}=66K\Omega$; $R_{13}=100K\Omega$; $R_{14}=100K\Omega$; $R_{15}=1K\Omega$; $R_{16}=100K\Omega$; $R_{17}=100K\Omega$; $R_{N1}=220K\Omega$; $R_{N2}=3M\Omega$; $R_{N3}=180K\Omega$; $R_{N4}=16K\Omega$; $R_{21}=100K\Omega$; $R_{22}=6666.6K\Omega$; $R_{23}=100K\Omega$; $R_{24}=100K\Omega$; $R_{25}=1K\Omega$; $R_{26}=100K\Omega$; $R_{27}=100K\Omega$; $C_1=10nF$; $C_2=10nF$ dir; ve bu tasarımda aktif eleman olarak $\pm 15V$ kutuplamalı AD712 tipi voltaj modlu op-amp kullanılmıştır. Harici uygulanan işaretin f genliği, HSA-tabanlı modelin dinamiklerini elde etmek için kullanılmıştır. f genliği sıfırdan üst sınıra kadar artırıldığından dallanma dizisi, periyodik işaretten kaosa kadar uzanan bir davranış sergiler. Harici işaretin frekansı, 8890Hz'de sabittir. Sunulan devrenin dallanma ve çift bantlı kaos davranışları Şekil 3' de gösterilmiştir.

İkinci donanım gerçekleştirmi, FPAA (Field Programmable Analog Array)-tabanlı yeniden yapılandırılabilir tasarım yaklaşımı kullanılarak yapılmıştır. FPAA, programlanabilir bir tümdevredir ve yeniden yapılandırma özelliği sayesinde analog fonksiyonları içeren çeşitli sistemler, kolaylıkla gerçekleştirilebilir. Bunun anlamı, yeni bir tasarım veya var olan tasarım üzerinde bir modifikasyon, FPAA'ya kolayca gönderilebilir. Bunlara ek olarak FPAA'lar, analog sistem tasarım için artan güvenilirlikle birlikte daha küçük bir kırıkkalanında daha etkili ve ekonomik çözümler sunar [9-11].



Şekil 2: HSA-tabanlı MLC devresi.



FPAA' da kullanılarak tasarlanan bir sistem, FPAA üzerinde gerçekleştirilmeden önce nümerik analiz yapılarak, test edilir. FPAA elemanı, $\pm 2V$ saturasyon seviyesine sahip olduğu için nümerik analiz sonucuna göre sistem, ölçeklendirme işlemeye tabii tutulabilir. Ölçeklendirme işleminden sonra sistem modellenir ve seri port aracılığıyla FPAA uygulama kartına gönderilir. FPAA uygulama kartından alınan deneysel sonuçlar, nümerik analiz sonuçları ile karşılaştırılır. Eğer bu sonuçlar birbirlerine uyarsa gerçekleştirm tamamlanmış olur. Eğer uyamazsa FPAA üzerindeki model, sonuçlar uyusana kadar modifiye edilir [12].

Denklem 5 ile tanımlanan HSA-tabanlı MLC devre modelinin, FPAA-tabanlı gerçekleştirminden önce SIMULINK gibi nümerik analiz programı ile test işlemi yapılmıştır ve MLC devresinin orijinal kaotik dinamiklerini elde etmek için Denklem 5' deki devre parametreleri, nümerik analiz sonuçlarına göre modifiye edilmiştir. Modifiye edilen devre modeli, aşağıdaki durum denklemleri ile tanımlanmıştır:

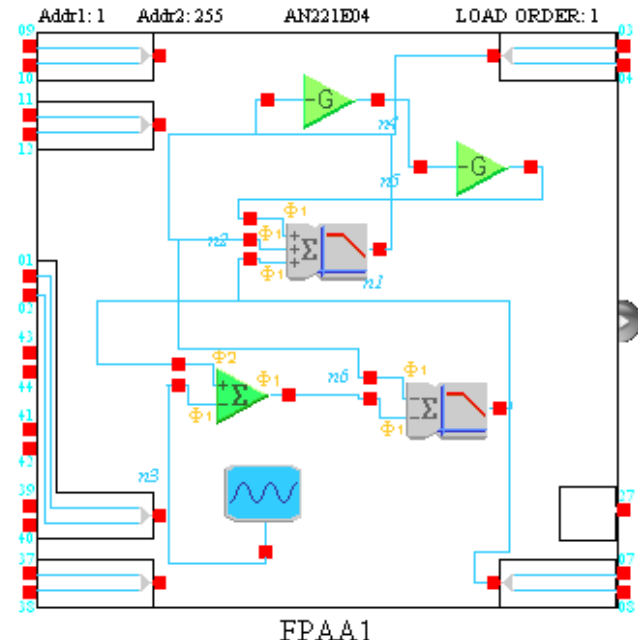
$$\begin{aligned}\dot{x}_1 &= -x_1 + 0.47y_1 + 1.55x_1 + x_2 \\ \dot{x}_2 &= -x_2 - x_1 + \alpha(-0.0935x_2 + f \sin(\omega t)) \\ y_1 &= 0.5 \times (|x_1 + 1| - |x_1 - 1|)\end{aligned}\quad (6)$$

burada (f) ve (ω), 0.15 ve 0.6 olarak belirlenmiştir.

HSA-tabanlı MLC devresinin FPAA gerçekleştirm şeması Şekil 4' de gösterilmiştir. x_1 ve x_2 durum değişkenleri,

$SUMFILTER$ [] blokların çıkışlarından elde edilmiştir. Devre kazançları, $SUMFILTER$ blokların ve

$SUMDIFF$ [] bloğun blok kazançları ayarlanarak

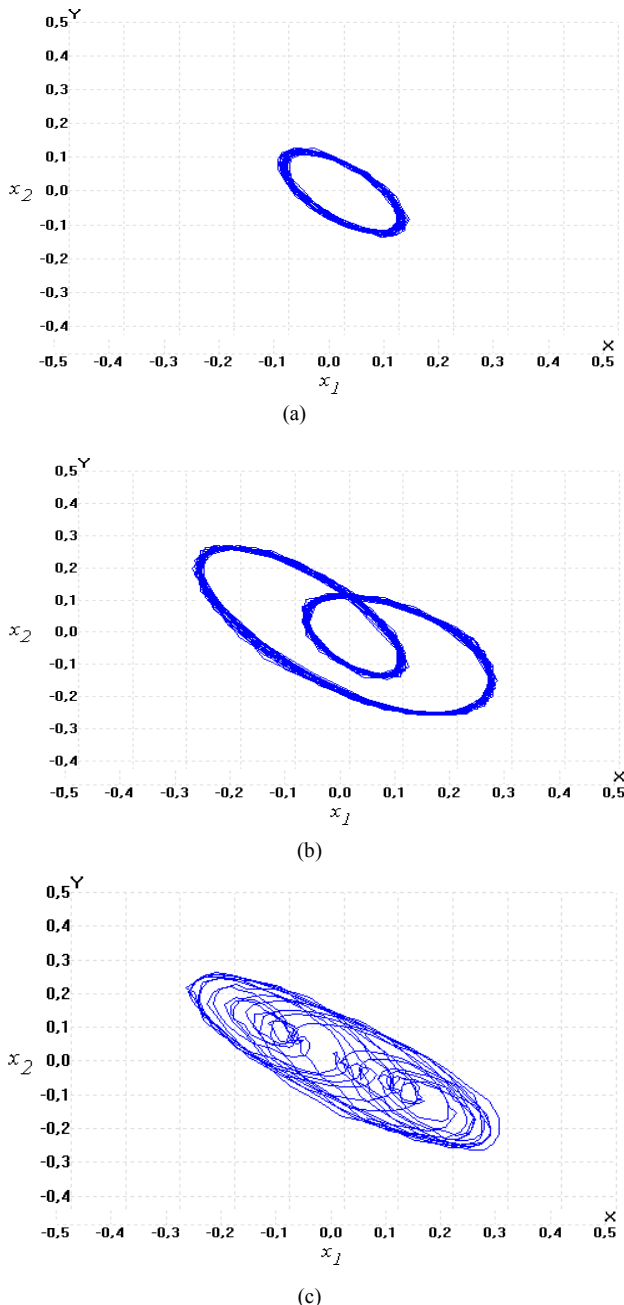


Şekil 4: HSA-tabanlı MLC devresinin FPAA gerçekleştirm şeması.

sağlanmıştır. $OSCILLATORSINE$ [] bloğu, sinüs dalga işaret kaynağı olarak kullanılmıştır. FPAA-tabanlı MLC devre modelinin gerçekleştirmesinde *INVERTING GAIN* $STAGES$ [] blokları, doğrusal olmayan çıkış fonksiyonu $y_1 = f(x_1)$ gerçekleştirmek için kullanılmıştır. Bu blok, eviren bir kazanç katı oluşturur.

FPAA' nın yazılım aracında devre gerçekleştirmi modellendikten sonra bu model, Şekil 5' de gösterildiği gibi FPAA uygulama kartına gönderilmiştir. Deneysel ölçümeler, FPAA uygulama kartının giriş/çıkış terminaleri kullanılarak yapılmıştır. Zaman domeninde ve X-Y modunda kaotik dinamikleri görüntülemek için sanal ölçüm sistemi kullanılmıştır. Bu sistem, herhangi bir elektronik devreden alınan elektriksel işaretlerin bilgisayar ekranında görüntülenmesine ve nümerik değerler dizisi şeklinde kaydedilmesine imkan sağlamaktadır.





Sekil 6: FPAA kullanılarak gerçekleştirilen HSA-tabanlı MLC devre modelinin (α) parametresinin farklı değerlerine göre deneylerden elde edilen çeker göstirimleri, (a) 2.7-periyot 1; (b) 1.7-periyot 2; (c) 1.0-çift bantlı kaotik davranış.

Sunulan HSA-tabanlı MLC devresinin FPAA gerçekleştiriminde (α) parametresinin farklı değerleri için deneysel çalışmalarдан elde edilen kaotik çeker göstirimleri, Şekil 6' da gösterilmektedir.

4. Sonuç

Bu çalışmada HSA-tabanlı otonom olmayan MLC devresinin farklı donanım gerçekleştirimi tanıtılmıştır. Bu gerçekleştirimler, RC tabanlı devre tasarımını ve programlanabilir analog tasarım teknigi ile beraber induktörsüz gerçekleştirimler sunmaktadır. Özellikle FPAA

elemanından yararlanılarak gerçekleştirilen programlanabilir donanım çözümleri, bazı avantajlara sahiptir. Sunulan sistemin sistem kontrolleri ve ayarlamaları, FPAA elemanın programlanabilme özelliği sayesinde esnek şekilde yapılabilmektedir. Programlanabilir tasarım yaklaşımı, HSA-tabanlı diğer otonom ve otonom olmayan kaos üreteçlerinin tasarımlarında çok kullanışlı olabilir. Ayrıca bu gerçekleştirimin kaotik kontrol ve kaotik haberleşme sistem tasarıminda kullanılması avantajlı olacaktır.

5. Kaynaklar

- [1] Lakshmanan, M., ve Murali, K., *Chaos in Nonlinear Oscillators, Controlling and Synchronization*, World Scientific Series on Nonlinear Science, Series A- Vol. 13, 1996.
- [2] Chua, L.O., ve Yang, L., "Cellular Neural Networks: Theory", *IEEE Trans. Circuits&Syst.*, 35, pp.732-745, 1998.
- [3] Chua, L.O., *CNN: A Paradigm for Complexity*, World Scientific Series on Nonlinear Science, Series A- Vol. 31, 1998.
- [4] Arena, P., Baglio, S., Fortuna, L., ve Manganaro, G., "Chua's Circuit Can Be Generated by CNN Cells", *IEEE Trans. Circuits&Syst. -I*, Vol. 42, (2), pp.123-125, 1995.
- [5] Caponetto, R., Lavorgna, M., ve Occipinti, L., "Cellular Neural Networks in Secure Transmission Applications", *Proc. of CNNA '96*, pp. 411-416, 1996.
- [6] Kılıç, R., Alçı, M., ve Günay, E., "A SC-CNN-Based Chaotic Masking System with Feedback", *Int. Journal of Bifurcation and Chaos*, Vol.14, No.1, p.245-256, 2004.
- [7] Günay, E., ve Alçı, M., "n -Double Scrolls In SC-CNN Circuit via Diode-Based Pwl Function", *Int. J. Bifurcation & Chaos*, Vol. 16, No. 4, 2006.
- [8] Chua, L.O., Wu, C.W., Huang, A., ve Zhong, G.A., "Universal Circuit for Studying and Generating Chaos", *IEEE Trans. Circuits&Syst.*, CAS-40, (10), pp.732-745, 1993.
- [9] Anadigm: www.anadigm.com
- [10] Caponetto, R., Mauro, A.D., Fortuna, L., ve Frasca, M., "Field Programmable Analog Array to Implement a Programmable Chua's Circuit", *Int. Journal of Bifurcation and Chaos*, 15, pp.1829–1836, 2005.
- [11] Kılıç, R., ve Dalkiran, F.Y., "Reconfigurable Implementations of Chua's Circuit", *Int. Journal of Bifurcation and Chaos*, Vol.19, No.4, pp.1339-1350, 2009.
- [12] Kılıç, R., *A Practical Guide for Studying Chua's Circuits*, World Scientific Series on Nonlinear Science, Series A-Vol.71, 2010.